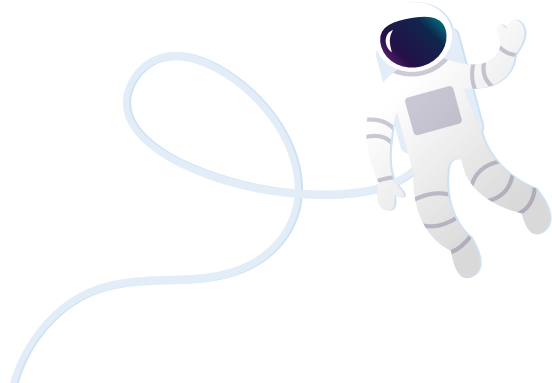


Algoritmo para solução do problema de Lambert no contexto de N corpos

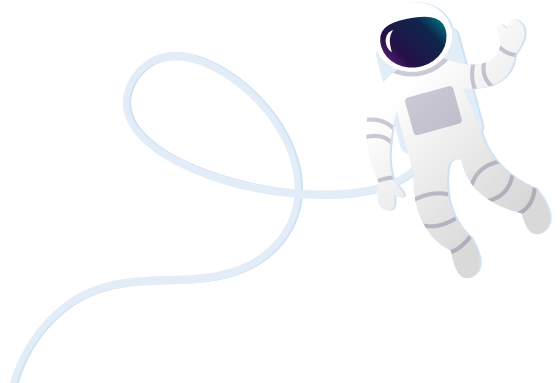
Apresentação final da disciplina FM-235

São José dos Campos-SP, 2020



Aluno: Francisco Matheus Moreira de Castro

Professora: Profa. Dra. Maisa de Oliveira Terra

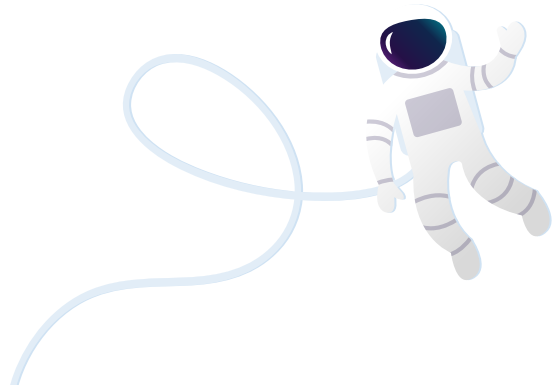


Objetivo



Missão

Desenvolver um algoritmo capaz de prover soluções para o PVC inspirado no Problema de Lambert clássico aplicado a um contexto de N corpos.

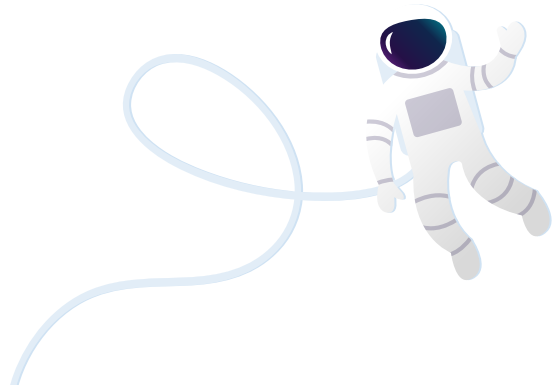


The background is a dark, starry space scene. In the top left, there is a large purple planet with horizontal stripes. Below it is a smaller purple planet with a ring. In the top right, an astronaut in a white suit is floating, holding a long, thin, looping rope. In the bottom right, there is a large, grey, cratered moon. The background is filled with numerous small white stars and larger, four-pointed starburst shapes. The text "Definição do problema" is centered in the middle of the image in a white, sans-serif font.

Definição do problema

Problema de Lambert

Na mecânica celeste, o problema de Lambert está relacionado à determinação de uma órbita a partir de **dois vetores de posição** e o **tempo de vôo**, proposto no século 18 por **Johann Heinrich Lambert** e formalmente resolvido com prova matemática por **Joseph-Louis Lagrange**.



Problema de Lambert

Suponha que um corpo sob a influência de uma força gravitacional central é observado viajando do **ponto P1** em sua **trajetória cônica** até um **ponto P2** em um **tempo T**. O tempo de vôo está relacionado a outras variáveis pelo **teorema de Lambert**, que afirma:

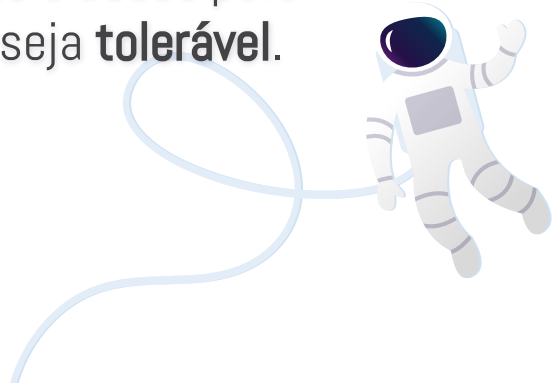
“O tempo de transferência de um corpo movendo-se entre dois pontos em uma trajetória cônica é função apenas da soma das distâncias dos dois pontos desde a origem da força, a distância linear entre os pontos e o semi-eixo maior da cônica.”



Problema de Lambert generalizado

Um método comum para resolver um **problema geral de valor limite de dois pontos** é empregar uma técnica de iteração numérica chamada de ***shooting method***.

Dados os estados inicial e final $x(t_1)$ e $x(t_2)$, bem como um tempo de transferência desejado Δt , a técnica do método shooting começa com uma **estimativa da velocidade inicial** $v(t_1)$. Depois de integrar a trajetória para obter o estado $\tilde{x}(t_2)$, o erro final de direcionamento é usado para **corrigir a estimativa** da velocidade inicial até que o erro seja **tolerável**.

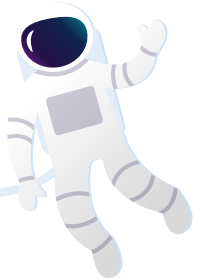


Abordagens

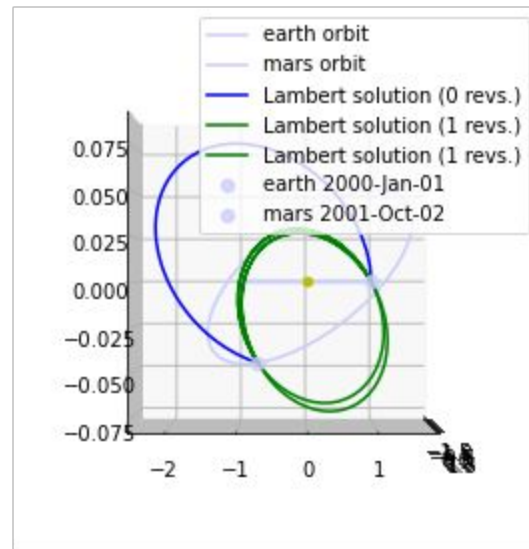
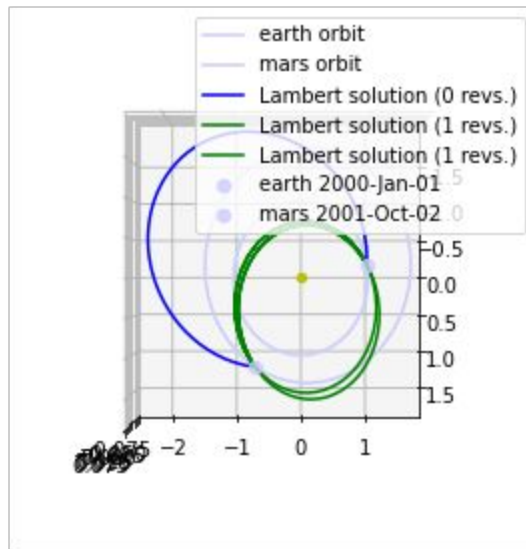
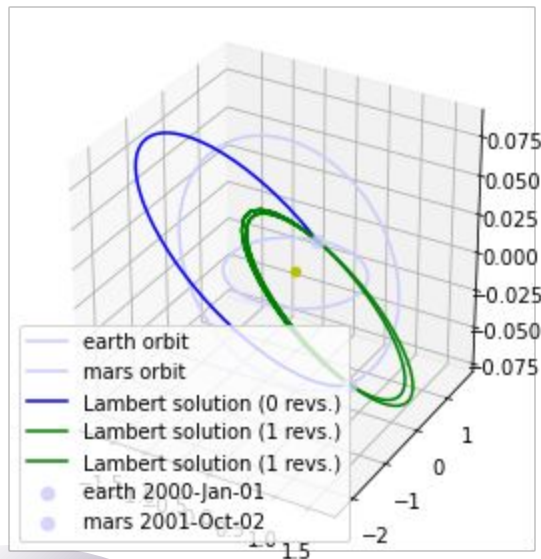


Como podemos fazer?

- O problema 2B é bem diferente sob o ponto de vista implementacional, porém nos dá boas análises de chutes iniciais.
- Existem diversas soluções para o problema 2B (Problema de Lambert clássico):
 - https://en.wikipedia.org/wiki/Lambert%27s_problem
 - <https://esa.github.io/pykep/examples/ex2.html>
 - <https://www.mathworks.com/matlabcentral/fileexchange/26348-robust-solver-for-lambert-s-orbital-boundary-value-problem>
 - <https://www.sba.org.br/revista/volumes/v7n2/v7n2a04.pdf>



Como podemos fazer?

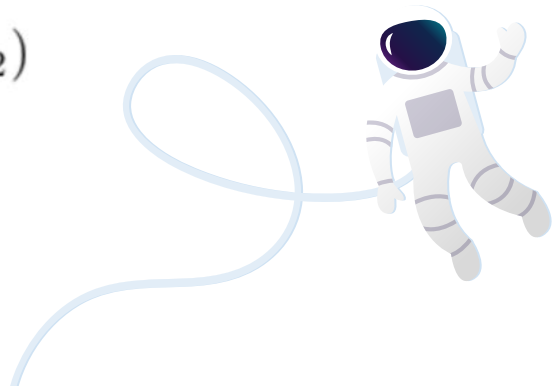


Como podemos fazer?

O ponto chave é o entendimento do **método de Newton**, que se baseia em correções finitas com base numa métrica de erro para o problema ponderada pela matriz de variação da grandeza de correção

$$\delta x(t_2) = \hat{x}(t_2) - x(t_2)$$

$$\underbrace{\dot{x}(t_1)}_{\text{new}} = \underbrace{\dot{x}(t_1)}_{\text{old}} - \left(\frac{\partial x(t_2)}{\partial \dot{x}(t_1)} \right)^{-1} \delta x(t_2)$$

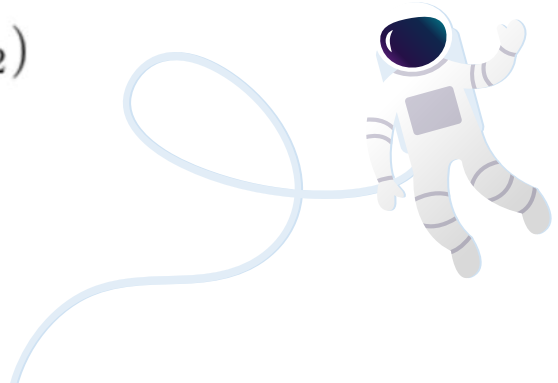


Como podemos fazer?

O método de Newton, por sua vez, recai fortemente sobre o entendimento da referida matriz de variação da grandeza de correção

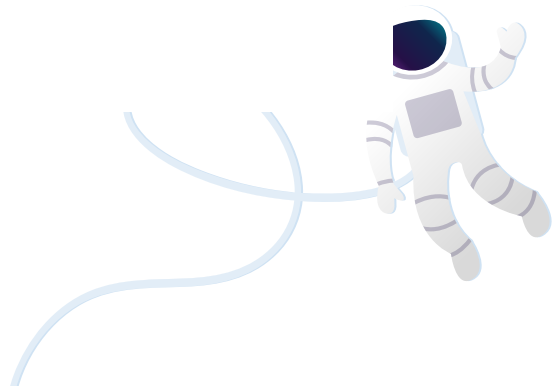
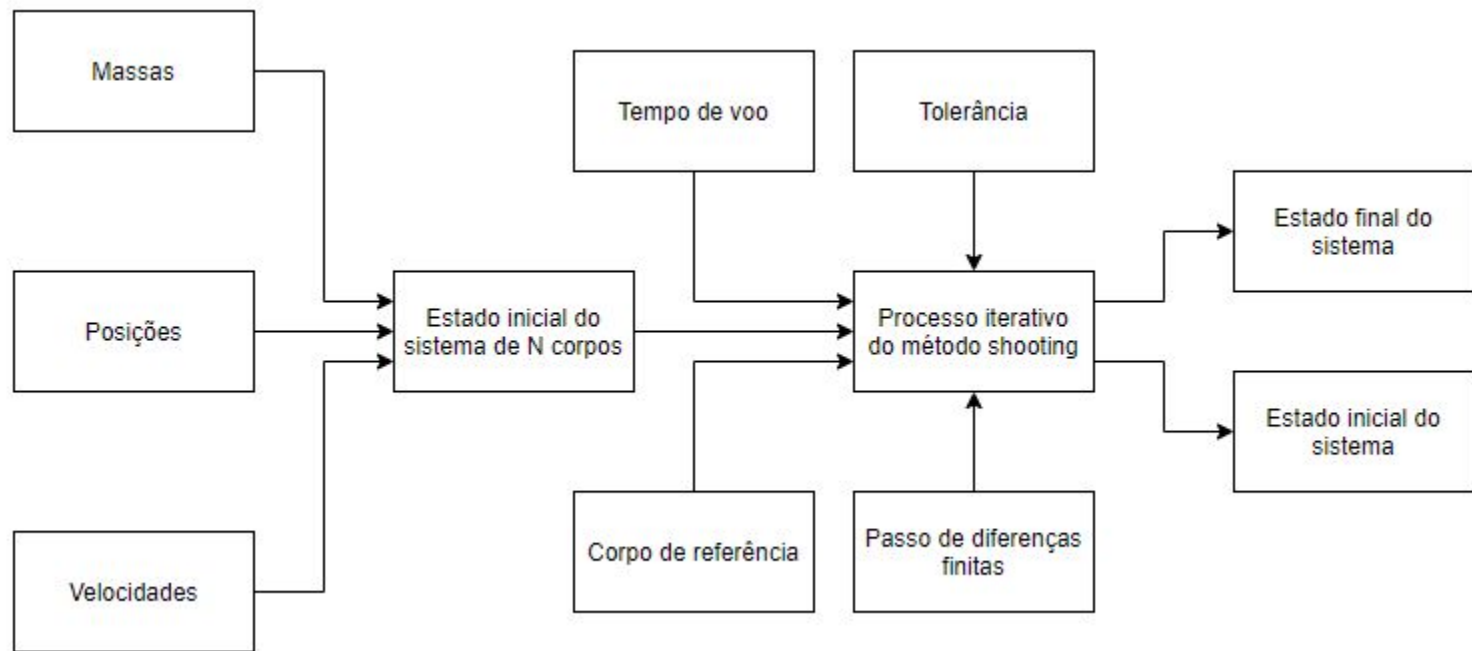
$$\delta x(t_2) = \hat{x}(t_2) - x(t_2)$$

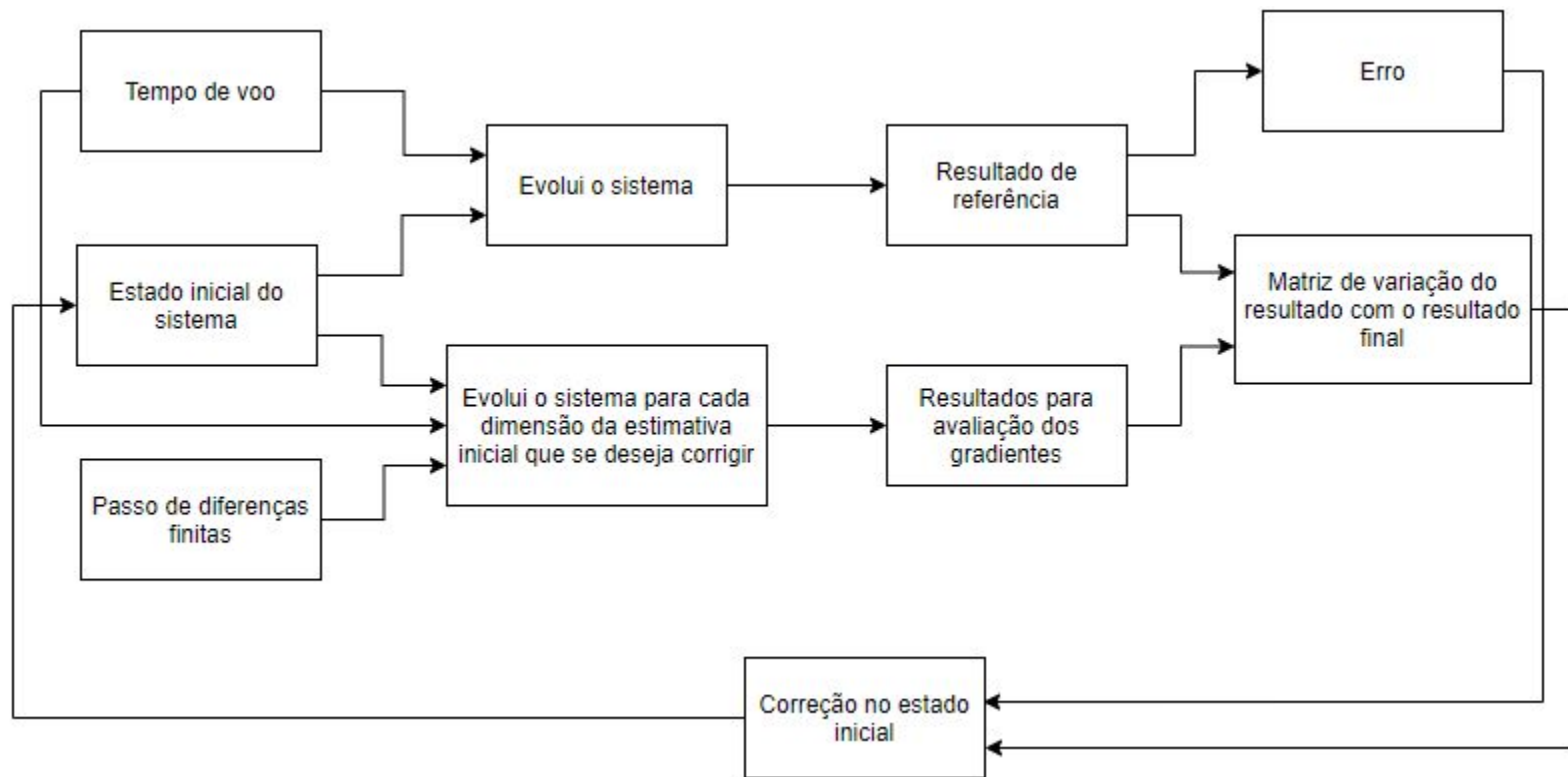
$$\underbrace{\dot{x}(t_1)}_{\text{new}} = \underbrace{\dot{x}(t_1)}_{\text{old}} - \left(\frac{\partial x(t_2)}{\partial \dot{x}(t_1)} \right)^{-1} \delta x(t_2)$$



A dark space-themed background featuring a large purple planet with horizontal stripes in the top left, a smaller purple planet with a ring in the middle left, and a cratered grey planet in the bottom right. An astronaut in a white suit floats in the upper right, holding a long, looping tether. The background is filled with numerous white stars of varying sizes and soft, grey nebula-like clouds.

Desenvolvimento





A dark space-themed background featuring a large purple planet with horizontal stripes in the top left, a smaller purple planet with a ring below it, a grey cratered planet in the bottom right, and an astronaut floating in the upper right with a coiled tether. The scene is filled with numerous white stars of varying sizes and soft, grey nebula-like clouds.

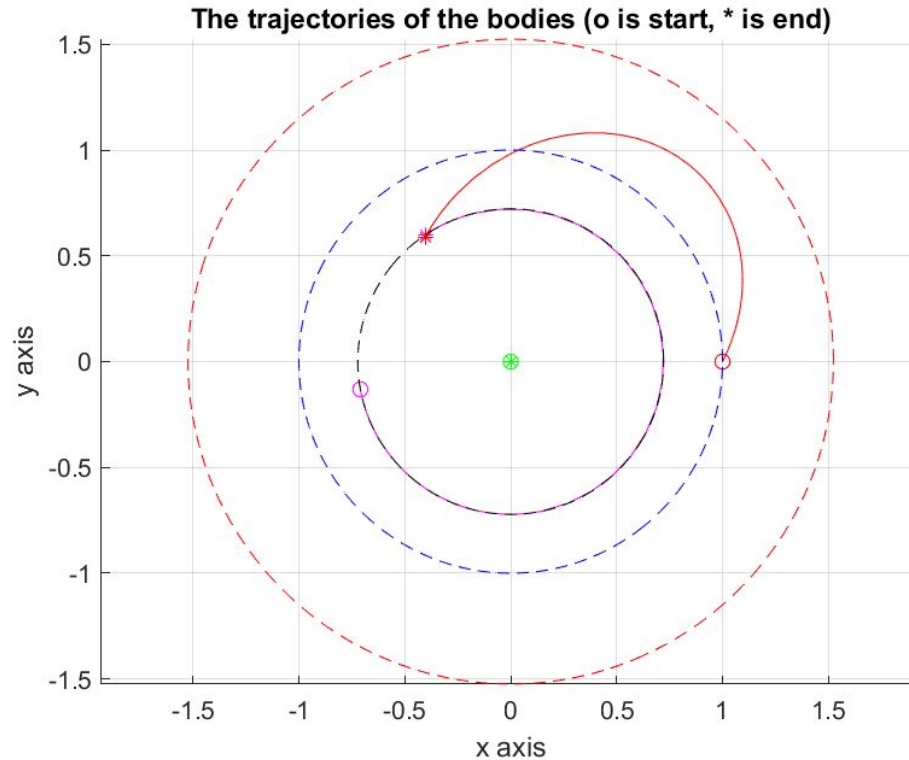
Resultados

Sistema considerado

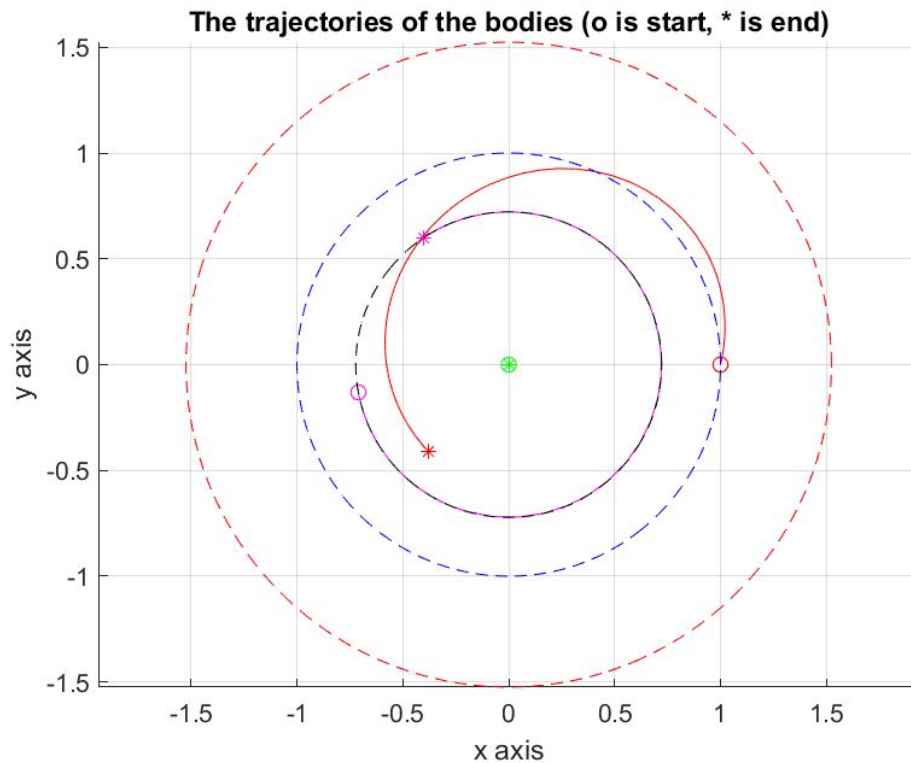
- 3 corpos: Sol, Vênus, espaçonave
- Velocidade inicial da espaçonave = velocidade de transferência Terra-Vênus por Hohmann
- Posição inicial:
 - Vênus: $[-0.7099 \quad -0.1310 \quad 0]$
 - Espaçonave: $[1 \quad 0 \quad 0]$
 - Sol: $[0 \quad 0 \quad 0]$
- Referencial heliocêntrico não girante com sistema métrico normalizado pelas convenções do CRTPB.



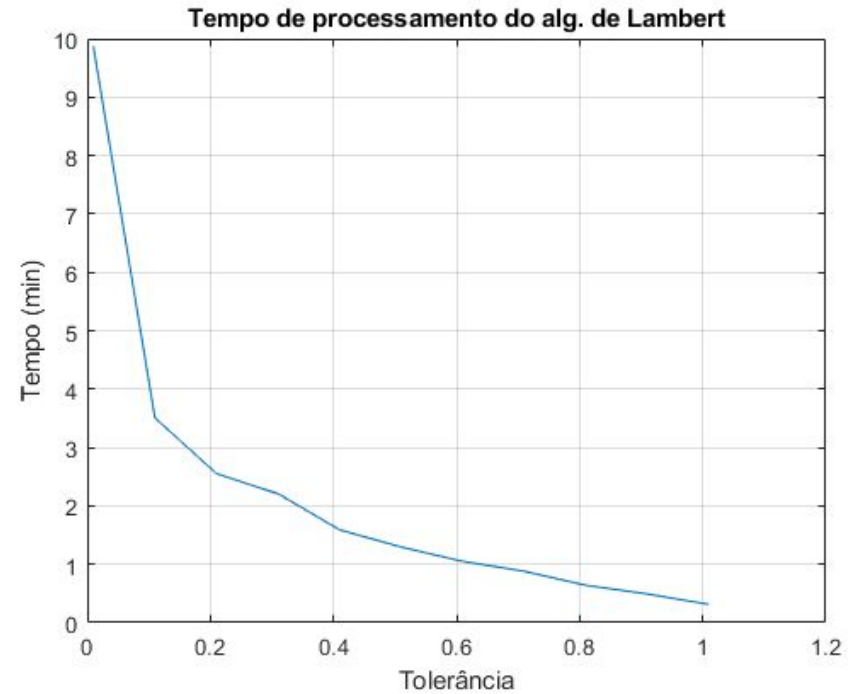
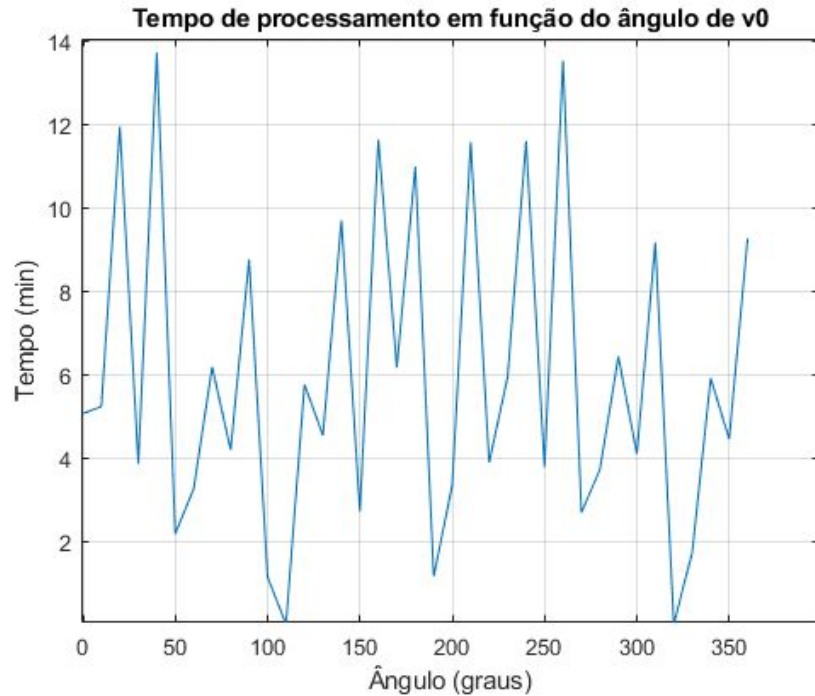
Trajetória solução p/ condições propostas



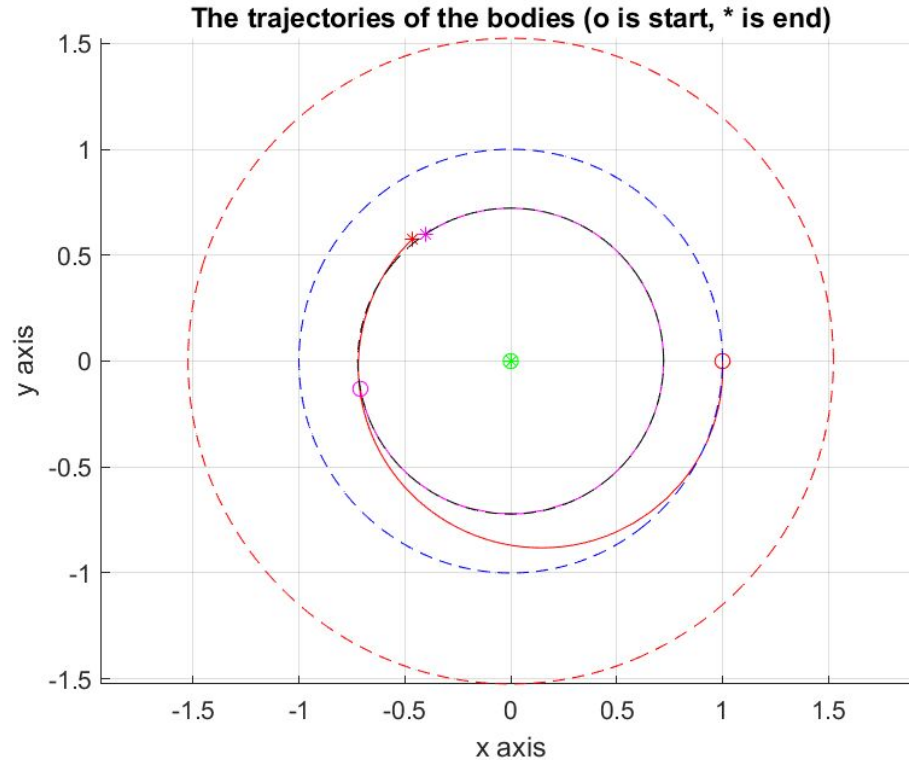
Evolução da procura da solução



Tempo de processamento

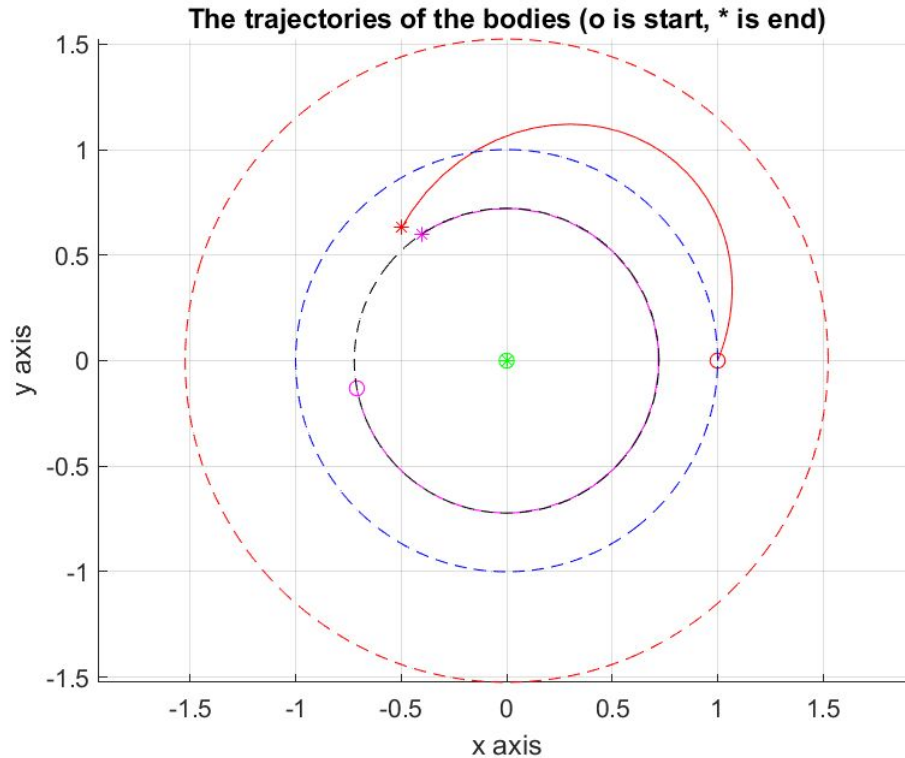


Variando angulação da velocidade inicial



(0° a 360°, passo 10°)

Variando módulo da velocidade inicial



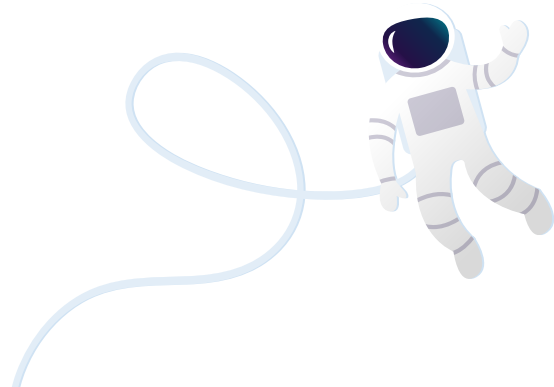
(0.75 a 1.25, passo 0.05)

Propostas para trabalhos futuros



O que podemos melhorar?

- Implementar cálculo analítico da matriz de variação para correção da estimativa de velocidade inicial
- Remodelar método shooting para corrigir outros erros, como, por exemplo, custo total
- Incrementar mais corpos (vale a pena?)



The background is a dark, starry space. In the top left, there is a large purple planet with horizontal stripes. Below it is a smaller purple planet with a ring. In the top right, an astronaut in a white suit is floating, holding a long, thin, looping rope. In the bottom right, there is a large, cratered moon. The background is filled with numerous small white stars and larger, four-pointed starburst shapes. There are also some dark, wavy, nebula-like shapes in the background.

Obrigado!

Perguntas?